

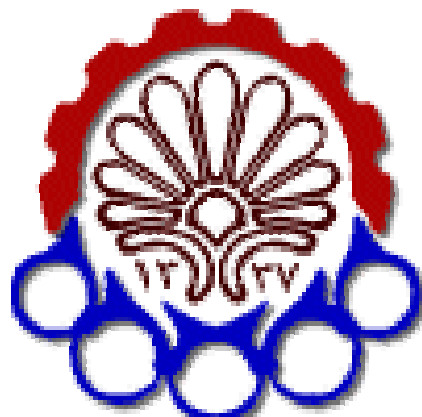
# Application of Ellipsoid Approximations to Polyhedral Sets in Power System Optimization

Convex Optimization-course project

**Abstract**—The paper presents a computational method that approximates feasible sets specified by linear or convex inequalities. This numerically efficient approach to power system optimization is based on computational geometry of multidimensional ellipsoids and is potentially applicable to problems with high dimensions, as it builds on recent advances in convex optimization. In an important application, it provides ranges in which nodal (generator) injections can vary without violating operational constraints in security analysis. The model is applied to two important problems in deregulated power systems: optimal economic dispatch(OED) and calculation of locational marginal prices (LMPs) in a day-ahead power market. Optimization problem with convex (ellipsoid-based) constraints is solved by a linear matrix inequality (LMI)-based procedure. The method is verified on the benchmark example with 68 buses, 16 generators, and 86 lines.

N. Moaddabi, 88123914

8/13/2010



دانشگاه صنعتی امیرکبیر  
(پلی تکنیک تهران)

## پروژه درس بهینه‌سازی محدب

عنوان پروژه:

کاربرد تقریب بیضوی برای مجموعه‌های چند سطحی در بهینه سازی  
سیستم قدرت

استاد راهنما:

دکتر صمدی

ارائه دهنده:

نقی مودبی ۸۸۱۲۳۹۱۴

## فهرست مطالب

۵	.....(۱) مقدمه
۶	.....(۲) صورت مسئله
۸	.....(۳) حل مسئله
۱۴	.....(۴) شبیه سازی و نتایج حاصله
۳۶	.....(۵) مراجع

## فهرست شکلها

۱۴	..... شکل ۴-۱: شبکه ۶۸ باسه New-Englan/New-York
۳۰	..... شکل ۴-۲: پنجره ورود اطلاعات جهت تصیر بیضی و چند وجهی مربوط به هر دو ژنراتور.
۳۱	..... شکل ۴-۳: تصویر محدود عملکرد دو ژنراتور نسبت به هم در دو حالت بیضی و چند وجهی (نتایج مقاله)
۳۲	..... شکل ۴-۴: تصویر محدود عملکرد دو ژنراتور نسبت به هم در دو حالت بیضی و چند وجهی (نتایج شبیه سازی)

تغییرات اخیر در اقتصاد و بازار سیستم قدرت و تغییر ساختار این سیستم در ایجاد بازار خرید و فروش انرژی الکتریکی منجر به ظهور پدیده‌ها و مدل‌های جدید در این حوزه شده است. این مدل‌ها اغلب به طوری که یک سری قیود فنی و عملکردی سیستم را برآورده سازند، در فرآیندهای بهینه‌سازی مورد استفاده قرار خواهند گرفت.

یکی از مسائل مهم در سیستم تغییر ساختار یافته شبکه قدرت، یافتن میزان توان تولیدی توسط ژنراتورهای شبکه است. در این حالت مسئله به گونه‌ای در نظر گرفته می‌شود که در کنار قیود فنی هزینه تولید مجموعه واحدها کمینه گردد. این موضوع در شبکه قدرت تحت عنوان پخش بار اقتصادی بهینه<sup>۱</sup> بیان می‌گردد. مسئله دیگر در این حوزه مربوط به پیدا کردن قیمت انرژی الکتریکی در باس‌های شبکه قدرت می‌باشد. این قیمت برای قیمت فروش و خرید انرژی در باس مربوطه مورد استفاده قرار گرفته و تحت عنوان قیمت مرزی محلی<sup>۲</sup> بررسی می‌گردد.

بسیاری از تحقیقات انجام شده در این حوزه به صورتی انجام شده‌اند که تنها به حل مسائل مذکور پرداخته و در مورد محدوده مجاز عملکرد ژنراتورها صحبتی نمی‌نمایند. این در حالی است که در این مقاله روش حل به گونه‌ای طراحی شده است که علاوه بر حل مسائل OED و LMP محدوده عملکرد مجاز ژنراتورها به ازای شرایط عملکردی متفاوت به دست خواهد آمد و در این سیر از پیشرفت‌های اخیر در حل مسائل محدب استفاده می‌گردد. مزیت دیگر این روش کاربردی بودن آن برای شبکه‌های بزرگ با تعداد قیود بالا است، جایی که اکثر تحقیقات انجام شده با مشکل و صرف هزینه زمانی بسیار همراه می‌باشد.

<sup>1</sup> Optimal Economic Dispatch (OED)

<sup>2</sup> Locational Marginal Price (LMP)

## (۲) صورت مسئله

همانطور که در مقدمه مطرح گردید، در مسئله OED میزان توان تولیدی ژنراتورها به گونه‌ای در نظر گرفته می‌شود که هزینه تولید کل واحدها کمینه گردد. به عبارت دیگر تابع هدف این مسئله بهینه سازی به صورت رابطه ۱-۲ می‌باشد.

$$\min_{P_G} \{c_G^T P_G\} \quad 1-2$$

که در رابطه فوق  $c$  بردار هزینه واحدهای تولیدی و  $P_G$  بردار نشان دهنده میزان تولید ژنراتورها می‌باشد. با فرض اینکه تعداد ژنراتورهای شبکه را با  $n_{gg}$  نشان دهیم، بردارهای فوق دارای ابعاد  $1 \times n_{gg}$  خواهند بود. در حل مسئله فوق تعدادی قیود فنی وجود دارند که جواب این مسئله را تحت تأثیر قرار خواهند داد:

- محدوده مجاز توان ژنراتورها (رابطه ۲-۲)

$$S_G^{min} \leq P_G \sqrt{1 + \tan^2 \varphi_G} \leq S_G^{max} \quad 2-2$$

که در آن  $S$  توان ظاهری،  $P$  توان اکتیو و  $\varphi$  ضریب توان ژنراتورها می‌باشد.

- محدوده مجاز توان بارها (رابطه ۳-۲)

$$S_L^{min} \leq P_L \sqrt{1 + \tan^2 \varphi_L} \leq S_L^{max} \quad 3-2$$

در صورتی که در روابط فوق به جای توان ظاهری از مقادیر حدی توان اکتیو واحدها استفاده گردد، رابطه‌های ۲-۲ و ۳-۲ به رابطه‌های ۴-۲ و ۵-۲ تبدیل می‌شوند

$$P_G^{min} \leq P_G \leq P_G^{max} \quad 4-2$$

$$P_L^{min} \leq P_L \leq P_L^{max} \quad 5-2$$

$$P_G = \begin{bmatrix} P_{G1} \\ P_{G2} \\ \vdots \\ P_{Gn_{gg}} \end{bmatrix}$$

$$P_L = \begin{bmatrix} P_{L1} \\ P_{L2} \\ \vdots \\ P_{Ln_{bus}} \end{bmatrix}$$

که  $n_{bus}$  تعداد کل بس‌های شبکه خواهد بود.

• محدوده مجاز توان انتقالی خطوط (رابطه ۶-۲)

$$|PS_G P_G \sqrt{1 + \tan^2 \varphi_G} - PS_L P_L \sqrt{1 + \tan^2 \varphi_L}| \leq S_b^{max} \quad 6-2$$

در رابطه فوق  $S_b^{max}$  بردار مربوط به ماکزیمم توان مجاز عبوری از خطوط شبکه می باشد. اگر تعداد خطوط شبکه را با  $Nbr$  نشان دهیم،  $S_b^{max}$  یک بردار  $1 \times Nbr$  خواهد بود.  $PS$  نیز ماتریس تبدیلی است که توان تولیدی در ژنراتور و توان مصرفی در بار را به توان عبوری از خطوط تبدیل می نماید. این مبحث در سیستم قدرت تحت عنوان فاکتور توزیع انتقال توان<sup>۱</sup> مورد بررسی قرار می گیرد. رابطه ۶-۲ را می توان به صورت ساده تری نیز در نظر گرفت. در صورتی که به جای ماتریس  $PS$  فوق از تبدیل دیگری تحت عنوان فاکتور توزیع تولید کلی<sup>۲</sup> استفاده نماییم، رابطه ۶-۲ را می توان به صورت رابطه ۷-۲ نوشت.

$$|D P_G| \leq P_b^{max} \quad 7-2$$

که در این رابطه  $D$  ماتریسی با ابعاد  $Nbr \times ngg$  است که توان تولیدی ژنراتورها را به توان عبوری از خطوط تبدیل می نماید. نحوه محاسبه این ماتریس در [۲] ارائه شده و با توجه به اینکه خارج از مقوله این گزارش می باشد، در اینجا مورد بررسی قرار نمی گیرد. بدین منظور برنامه ای تحت عنوان PTDF68BUS برای محاسبه ماتریس  $D$  و در نتیجه توان عبوری از خطوط نوشته شده است.

• توازن بین تولید، مصرف و تلفات (رابطه ۸-۲)

$$e^T P_G - e'^T P_L = P_{Loss}(P_G) \quad 8-2$$

که در این رابطه  $e$  و  $e'$  بردار واحد به ابعاد  $1 \times 1$  و  $ngg \times 1$  و  $nbus \times 1$  خواهد بود.  $(P_G)$  نیز تابعی از توان ژنراتورهای شبکه است که میزان تلفات موجود در شبکه را محاسبه می نماید. صورت کلی این تابع به فرم یک تابع quadratic در رابطه ۹-۲ نشان داده شده است [۱].

$$P_{Loss}(P_G) = P_G^T B^{(2)} P_G + B^{(1)} P_G + B^{(0)} \quad 9-2$$

<sup>1</sup> Power Transfer Distribution Factor (PTDF)

<sup>2</sup> Generalized Generation Distribution Factor (GGDF)

که در رابطه ۹-۲  $B^{(0)}$  و  $B^{(1)}$  ماتریس ضرایب تلفات شبکه خواهد بود. اگر تعداد ژنراتورهای شبکه را

با  $ngg$  نشان دهیم، ابعاد ماتریس ضرایب مذکور به ترتیب عبارتند از:  $ngg \times 1$ ,  $ngg \times 1$  و  $1 \times 1$

نحوه محاسبه این ضرایب به طور کامل در مرجع [۱] ارائه شده است و در اینجا مورد بحث قرار نمی‌گیرد.

برنامه‌ای تحت عنوان BLOSS در محیط Mfile نوشته شده است که ماتریس ضرایب فوق را محاسبه می‌نماید.

بدین ترتیب با بررسی روابط ۴-۲ تا ۹-۲ می‌توان دریافت که تعداد قیدهای فرایند بهینه‌سازی عبارت است از:

$$Ncon = 2Nbus + 2Nbus + 1 + 2Nbr$$

### (۳) حل مسئله

حل مسئله بهینه‌سازی مذکور به دو صورت قابل انجام خواهد بود. روش اول که در تحقیقات قبلی مطرح شده و تنها در شبکه‌های با تعداد بس کم (تعداد قیود کمتر) عملی می‌باشد، حل مستقیم مسئله بهینه‌سازی مذکور با استفاده از روش Linear Programming است. در این حالت مجموعه فضایی که در آن تابع هدف می‌باشد مینیمم گردد به صورت یک نامعادله خطی  $Ax \leq b$  تعیین می‌گردد که  $A$  ماتریسی به ابعاد  $Ncon \times ngg$  و  $b$  برداری به صورت  $1 \times Ncon$  خواهد بود. هر یک از قیدهای موجود در  $Ax \leq b$  ارائه دهنده یک نیم صفحه<sup>۱</sup> بوده که تقاطع همه قیدها به ایجاد یک چند وجهی<sup>۲</sup> در فضا منجر می‌گردد. روش پیشنهادی در این مقاله که از پیشرفت‌های اخیر در حل مسائل convex استفاده می‌نماید، بدین صورت است که چند وجهی مذکور به صورت ماکزیمم بیضی داخل چند وجهی تقریب زده می‌شود. بیان قیود مسئله به صورت بیضی به خاطر مشخصه محاسباتی و هندسی مناسب بیضی، باعث می‌گردد که مسئله بهینه‌سازی بسیار ساده تر و سریعتر از روش چند وجهی قابل حل باشد. به عنوان نمونه، پیدا کردن نقطه مینیمم محلی با استفاده از تقریب بیضی در زمان Polynomial time قابل دستیابی بوده در حالی که پیدا کردن این نقطه با استفاده از چند وجهی به یک مسئله NP-hard منجر خواهد شد.

<sup>1</sup> Halfspace

<sup>2</sup> Polytope

بدین ترتیب در اولین اقدام می بایست قیود مسئله به صورت یک نامعادله خطی  $Ax \leq b$  نوشته شود. با

بررسی قیود مسئله واضح است که روابطه ۴-۲ تا ۷-۲ به راحتی قابلیت نمایش به صورت  $Ax \leq b$  را دارند اما

رابطه ۸-۲ می بایست با انجام تغییراتی به فرم  $b \leq Ax$  تبدیل گردد. در رابطه ۱-۳ بسط یافته قید معادلی

رابطه ۸-۲ ارائه شده است.

$$(P_{G1} - P_{L1}) + (P_{G2} - P_{L2}) + \dots + (P_{GNbus} - P_{LNbus}) = P_{Loss}(P_G) = P_G^T B^{(2)} P_G + \quad 1-3$$

$$B^{(1)} P_G + B^{(0)}$$

در صورتی که باس شماره ۱ به عنوان باس اسلک در نظر گرفته شود:

$$(P_{G1} - P_{L1}) = P_{sl}$$

$$P_{L2} + P_{L3} + \dots + P_{Lnbus} = P_{Ltot}$$

$$P_{sl} + (P_{G2} + P_{G3} + \dots + P_{Gn_{gg}}) - P_{Ltot} = P_G^T B^{(2)} P_G + B^{(2)} P_G + B^{(0)} \quad 2-3$$

به منظور تبدیل رابطه ۲-۳ به فرم خطی عبارت quadratic سمت راست معادله به صورت خطی حول نقطه

کار تقریب زده می شود.

$$P_{Loss}(P_G) = P_{Loss}(P_{gg}) + \frac{\partial P_{Loss}(P_G)}{\partial P_G} \Big|_{P_G=P_{gg}} (P_G - P_{gg})$$

$$P_{Loss}(P_G) = P_{Loss}(P_{gg}) + \underbrace{\left( 2P_{gg}^T B^{(2)} + B^{(2)T} \right)}_{B_x} (P_G - P_{gg})$$

با جایگذاری رابطه فوق در رابطه ۲-۳ خواهیم داشت:

$$P_{sl} + (P_{G2} + P_{G3} + \dots + P_{Gn_{gg}}) - P_{Ltot} = P_{Loss}(P_{gg}) + B_x(P_G - P_{gg})$$

$$P_{sl} \underbrace{- P_{Loss}(P_{gg}) + B_x P_{gg} - P_{Ltot}}_{-P_{const}} = B_x P_G - (P_{G2} + P_{G3} + \dots + P_{Gn_{gg}})$$

$$P_{sl} - P_{const} = (B_x - e') P_G \quad 3-3$$

که در رابطه ۳-۳:

$$e' = \begin{bmatrix} 0 \\ 1 \\ \vdots \\ 1 \end{bmatrix}$$

در صورتی که بارهای شبکه ثابت فرض شوند،  $P_{\text{const}}$  ثابت خواهد بود. اگر مقادیر مینیمم و ماکزیمم توان تولیدی ژنراتور اسلک به صورت  $P_{\text{sl}}^{\min}$  و  $P_{\text{sl}}^{\max}$  در نظر گرفته شود، رابطه معادلهای ۳-۳ را می‌توان به صورت رابطه ۴-۳ و به فرم  $\mathbf{Ax} \leq \mathbf{b}$  نوشت.

$$P_{\text{sl}}^{\min} - P_{\text{const}} \leq (B_x - e') P_G \leq P_{\text{sl}}^{\max} - P_{\text{const}} \quad 4-3$$

با این تبدیل می‌توان مجموعه فضای عملکردی ژنراتورها را می‌توان به صورت  $\mathbf{Ax} \leq \mathbf{b}$  نمایش داد.

$$\begin{array}{c} \left[ \begin{array}{ccc} +1 & \cdots & 0 \\ \vdots & \ddots & \vdots \\ 0 & \cdots & +1 \end{array} \right]_{n_{gg} \times n_{gg}} \left[ \begin{array}{c} P_{G1} \\ P_{G2} \\ \vdots \\ P_{G_{n_{gg}}} \end{array} \right] \leq \left[ \begin{array}{c} P_{G1}^{\max} \\ P_{G2}^{\max} \\ \vdots \\ P_{G_{n_{gg}}}^{\max} \end{array} \right] \\ \left[ \begin{array}{ccc} -1 & \cdots & 0 \\ \vdots & \ddots & \vdots \\ 0 & \cdots & -1 \end{array} \right]_{n_{gg} \times n_{gg}} \left[ \begin{array}{c} P_{G1}^{\min} \\ P_{G2}^{\min} \\ \vdots \\ P_{G_{n_{gg}}}^{\min} \end{array} \right] \\ \left[ \begin{array}{ccc} D_{11} & \cdots & D_{1n_{gg}} \\ \vdots & \ddots & \vdots \\ D_{Nbr} & \cdots & D_{Nbr\ n_{gg}} \end{array} \right]_{Nbr \times n_{gg}} \left[ \begin{array}{c} P_{b1}^{\max} \\ P_{b2}^{\max} \\ \vdots \\ P_{bNbr}^{\max} \end{array} \right] \\ \left[ \begin{array}{ccc} -D_{11} & \cdots & -D_{1n_{gg}} \\ \vdots & \ddots & \vdots \\ -D_{Nbr} & \cdots & -D_{Nbr\ n_{gg}} \end{array} \right]_{Nbr \times n_{gg}} \left[ \begin{array}{c} P_{b1}^{\max} \\ P_{b2}^{\max} \\ \vdots \\ P_{bNbr}^{\max} \end{array} \right] \\ [B_x - e']^T_{1 \times n_{gg}} \quad [P_{\text{sl}}^{\max} - P_{\text{const}}] \\ [e' - B_x]^T_{1 \times n_{gg}} \quad -[P_{\text{sl}}^{\min} - P_{\text{const}}] \end{array} \quad 5-3$$

در مرحله بعد، چند وجهی حاصل از رابطه ۵-۳ می‌بایست با بزرگرین بیضی داخل چند وجهی تقریب زده شود. بدین منظور نیازمند یک فرآیند بهینه سازی خواهیم بود [۳]. در حالت کلی یک بیضی را می‌توان به صورت رابطه‌های ۶-۳ یا ۷-۳ نمایش داد.

$$\varepsilon(x_c, H) = \{x \in \Re^n : (x - x_c)^T H^{-1} (x - x_c) \leq 1\} \quad 6-3$$

$$\varepsilon(x_c, E) = \{x \in \Re^n : x = x_c + Eu, \|u\|_2 \leq 1\} \quad 7-3$$

که  $x_c$  مرکز بیضوی و  $H = EE^T$  ماتریس مربعی مثبت معین<sup>۱</sup> تحت عنوان ماتریس مشخصه<sup>۲</sup> بیضوی به ابعاد تعداد متغیرهای مسئله می باشد. برای پیدا کردن بزرگترین بیضوی داخل چند وجهی  $Ax \leq b$ ، مسئله بهینه سازی ۸-۳ می باشد.

$$\text{Maximize} \quad \ln \det E \quad 8-3$$

$$\text{Subject to: } \|E a_i^T\|_2 + a_i x_c \leq b_i \quad \text{for } i = 1, 2, \dots, m$$

که در آن  $a_i$  سطرهای ماتریس  $A$  و  $m$  تعداد سطرهای این ماتریس می باشند. برای حل مسئله بهینه سازی فوق و در نتیجه پیدا کردن بیضوی مورد نظر برنامه ای تحت عنوان MaxVe نوشته شده است که در ادامه ارائه شده است. لازم به ذکر است که برای حل این مسئله از Toolbox برنامه متلب تحت عنوان Yalmip و سالور Sedumi استفاده شده است.

```
function [xmve,H,B] = maxVe2(A,b)

[m,n] = size(A);
B = sdpvar(n);
d = sdpvar(n,1);
obj = -logdet(B);
con = set(B>0);
for ix = 1:m
    con = con+set(norm(B*(A(ix,:)'),2)+A(ix,:)*d<=b(ix));
end
opts = sdpsettings('verbose',0);
solvesdp(con,obj,opts);
B = double(B); % B = n*double(B)
d = double(d);
H=B*B';
xmve = d;
```

در صورتی که علاوه بر شرایط نرمال شبکه، شرایط Contingency شبکه را هم در حل مسئله وارد نماییم، می باشد برای هر یک از حالت های Contingency عبارت  $Ax \leq b$  را تشکیل داده و در نهایت بزرگترین بیضوی داخل چند وجهی ای که از اشتراک همه چند وجهی ها به دست آمده است را پیدا نمود و مسئله را با آن حل کرد.

<sup>1</sup> Positive Semi-definite Matrix

<sup>2</sup> Shape Matrix

یکی از اقدامات بسیار مهمی که در شبکه های بزرگ به علت تعداً قیدهای زیاد الزامی بوده و در حل سریعتر مسئله کمک بسزایی می نمایید، کاهش و یا حذف قیدهای تکراری<sup>۱</sup> می باشد. از نظر ریاضی قید  $\|A_kx - b_k\| \leq 0$  یک قید تکراری در مجموعه قیدهای  $Ax \leq b$  است اگر و تنها اگر عبارت  $9-3$  infeasible باشد.

$$A_i x \leq b_i \quad \forall i \neq k \quad 9-3$$

$$A_k x > b_k$$

به عبارت دیگر در صورتی که در مسئله بهینه سازی  $\max_x \|A_kx - b_k\| \leq 0$  باشد، قید  $A_kx - b_k$  یک قید تکراری خواهد بود و وجود و یا حذف آن در جواب مسئله تأثیر نخواهد داشت ولی حذف آن به حل سریعتر مسئله کمک می نماید. برنامه مربوط به حذف قیدهای تکراری نیز نوشته شده است. علاوه بر این برای حذف سریعتر قیدهای تکراری می توان از اشتراک قید مربوطه با کوچکترین بیضی پیرامون چند وجهی نیز استفاده نمود.

$$\max_x \|A_kx\| \quad 10-3$$

$$S.T: \quad A_i x \leq b_i \quad \forall i \neq k$$

بدین ترتیب بعد از کاهش قیدهای تکراری و تبدیل چند وجهی حاصله به فضای بیضوی، به سراغ مسئله پخش بار بهینه اقتصادی (OED) مسئله  $10-2$  می رویم. این مسئله در رابطه  $11-3$  به فرم جدید بازنویسی شده است.

$$\min_{P_G} \{c_G^T P_G\} \quad 11-3$$

$$S.T: \quad e^T P_G = P_{Ltot} + P_{Loss}(P_G) \quad , \quad (P_G - P_{G,center})^T \times H^{-1} \times (P_G - P_{G,center}) \leq 1$$

مسئله  $11-3$  دارای یک قید معادله ای و یک قید نامعادله ای می باشد. در صورتی که قید نامعادله ای را به فرم نامعادله ای ماتریسی<sup>۲</sup> (LMI) تبدیل نماییم، مسئله مذکور از نظر عددی به طور بسیار مناسب تر و راحتر قابل حل خواهد بود [۳]. این قید نامعادله ای با استفاده از Schur Complement قابل تبدیل به LMI (رابطه  $12-3$ )

<sup>1</sup> Redundant

<sup>2</sup> Linear Matrix Inequality (LMI)

$$\begin{bmatrix} 1 & (P_G - P_{G,center})^T \\ (P_G - P_{G,center}) & H_G \end{bmatrix} \succ 0$$

علاوه بر قید نامعادله‌ای، قید معادله‌ای مذکور را می‌توان به فرم LMI تبدیل نمود.

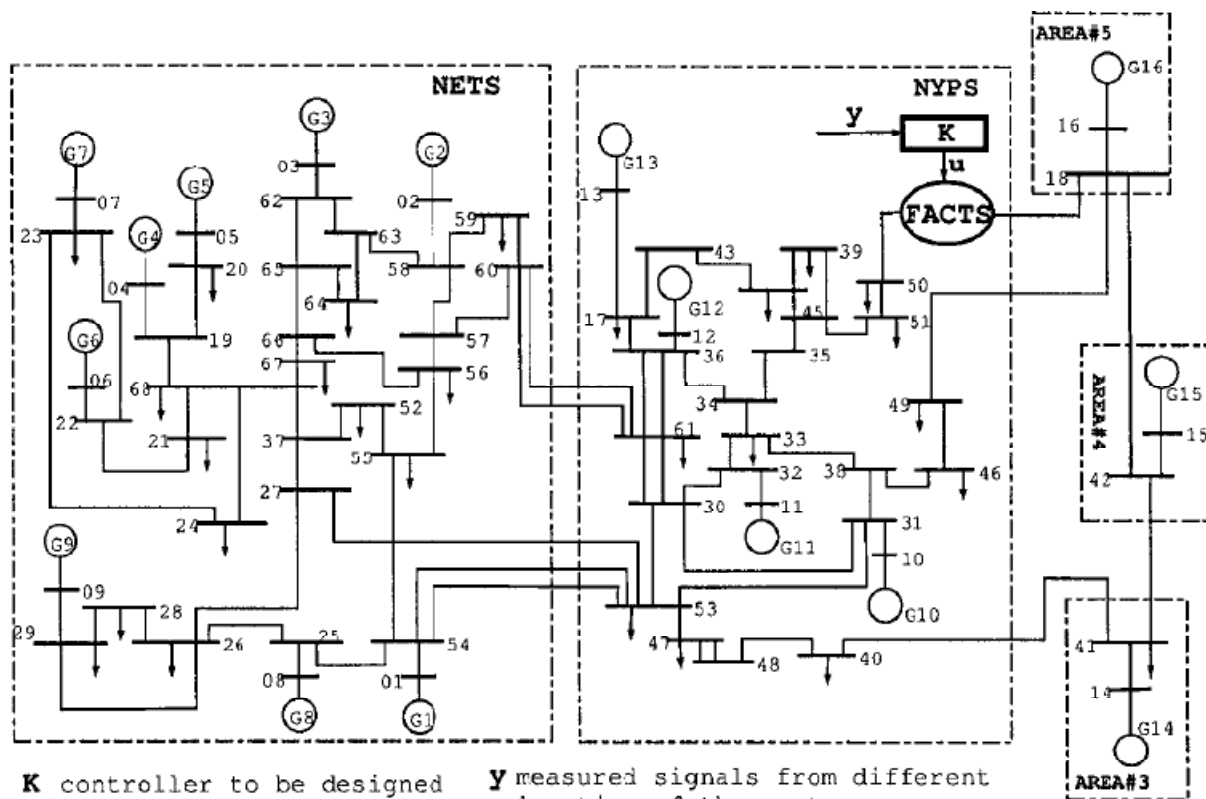
$$\begin{bmatrix} 1 & (P_G - x_Q)^T \\ (P_G - x_Q) & Q \end{bmatrix} \succ 0 \quad 13-3$$

$$Q = [1/4(B_G^{(1)} - 1)^T B_G^{(2)}(B_G^{(1)} - 1) - P_{Ltot} - B_G^{(0)}]^{-1/2} [B_G^{(2)}]^{1/2} \quad \text{که در آن:}$$

$$x_Q = -1/2B_G^{(2)}(B_G^{(1)} - 1)$$

## (۴) شبیه‌سازی و نتایج حاصله

به منظور پیاده‌سازی روش مذکور از شبکه ۶۸ باسه New-Englan/New-York [۴] استفاده شده است. این شبکه در شکل ۱-۴ نشان داده شده است.



شکل ۱-۴: شبکه ۶۸ باسه New-Englan/New-York

این شبکه دارای ۱۶ ژنراتور و ۸۶ خط می‌باشد. بدین ترتیب تعداد قیود مسئله بهینه‌سازی با فرض ثابت بودن بارهای شبکه عبارت است از:

$$Ncon = 2ngg + 1 + 2Nbr = 2 * 16 + 1 + 2 * 86 = 205$$

که حل آن با استفاده از روش مستقیم با زمان بسیار همراه بوده و گاه‌آغاز غیر ممکن می‌باشد. در این قسمت مراحل شبیه‌سازی و نتایج حاصله مرحله به مرحله تشریح می‌گردد. ابتدا برنامه‌ای تحت عنوان OED که به منظور پخش بار اقتصادی نوشته شده است بررسی می‌گردد.

در ابتدا اطلاعات مورد نیاز جهت پخش بار شبکه ۶۸ باسه مذکور شامل اطلاعات ژنراتورها و خطوط به صورت دو ماتریس به نامهای busdata و linedata ذخیره می‌گردد. نمونه‌ای از این اطلاعات در زیر ارائه شده است.

اطلاعات مربوطه که از [۴] استخراج شده در قسمت ضمیمه موجود می‌باشد.

```
%      68-BUS TEST SYSTEM (New-England/New-York Electric Power)
%
%      Bus Bus   Voltage Angle   ---Load---- Generator----- Mvar
%      No  code Mag.    Degree   MW     Mvar   MW   Mvar Qmin Qmax +Qc/-Ql
busdata=[1  2    1.045  0.0    0.0   0.0    250  0.0  40   500  0
         2  2    0.980  0.0    0.0   0.0    545  0.0  40   500  0
         3  2    0.983  0.0    0.0   0.0    650  0.0  40   500  0
         4  2    0.997  0.0    0.0   0.0    632  0.0  40   500  0
         ...]

%
%      Line code
%      Bus bus   R      X      1/2 B = 1 for lines
%      nl  nr   p.u.  p.u.  p.u. > 1 or < 1 tr. tap at bus nl
linedata=[54  1    0.0   0.0181  0.00   1.025  700
          58  2    0.0   0.0250  0.00   1.07   700
          62  3    0.0   0.0200  0.00   1.07   700
          19  4    0.0007 0.0142  0.00   1.07   700
          ...]
```

برای انجام پخش بار نیاز به تشکیل ماتریس Ybus شبکه خواهیم داشت. بدین منظور برنامه‌ای تحت عنوان Ifybus نوشته شده که با استفاده از اطلاعات خطوط (linedata) ماتریس Ybus شبکه محاسبه می‌نماید.

بعد از محاسبه Ybus، برنامه‌ای برای انجام پخش بار بر روی شبکه نوشته شده که پخش بار را با استفاده از روش نیوتون-رافسون انجام می‌دهد. نتایج حاصل از پخش بار شبکه توسط دو برنامه busout و lineflow به صورت ادامه قابل نمایش خواهند بود.

## Power Flow Solution by Newton-Raphson Method

Maximum Power Mismatch = 3.66395e-006

No. of Iterations = 5

Bus No.	Voltage Mag.	Angle Degree	-----Load-----		---Generation---		Injected Mvar
			MW	Mvar	MW	Mvar	
1	1.045	23.996	0.000	0.000	250.000	321.558	0.000
2	0.980	29.601	0.000	0.000	545.000	259.490	0.000
3	0.983	31.801	0.000	0.000	650.000	283.841	0.000
4	0.997	32.070	0.000	0.000	632.000	189.383	0.000
5	1.011	30.532	0.000	0.000	505.000	200.420	0.000
6	1.050	35.146	0.000	0.000	700.000	332.976	0.000
7	1.063	37.396	0.000	0.000	560.000	163.877	0.000
8	1.030	29.787	0.000	0.000	540.000	141.051	0.000
9	1.025	34.916	0.000	0.000	800.000	203.872	0.000
10	1.010	23.937	0.000	0.000	500.000	287.484	0.000
11	1.000	24.650	0.000	0.000	1000.000	295.460	0.000
12	1.016	7.775	0.000	0.000	1350.000	705.606	0.000
13	1.011	0.000	0.000	0.000	3027.199	1404.859	0.000
14	1.000	56.862	0.000	0.000	1785.000	534.707	0.000
15	1.000	47.530	0.000	0.000	1000.000	334.859	0.000
16	1.000	50.438	0.000	0.000	4000.000	1058.296	0.000
17	1.009	-5.846	6000.000	300.000	0.000	0.000	0.000
18	0.976	43.373	2470.000	123.000	0.000	0.000	0.000
19	1.038	26.822	0.000	0.000	0.000	0.000	0.000
20	0.984	25.345	680.000	103.000	0.000	0.000	0.000
21	1.007	24.883	274.000	115.000	0.000	0.000	0.000
22	1.034	29.725	0.000	0.000	0.000	0.000	0.000
23	1.028	29.430	248.000	85.000	0.000	0.000	0.000
24	1.009	22.300	309.000	0.000	0.000	0.000	92.000
25	1.027	22.865	224.000	47.000	0.000	0.000	0.000
26	1.001	21.836	139.000	17.000	0.000	0.000	0.000
27	0.990	19.962	281.000	76.000	0.000	0.000	0.000
28	1.009	25.213	206.000	28.000	0.000	0.000	0.000
29	1.020	27.980	284.000	27.000	0.000	0.000	0.000
30	0.984	12.071	0.000	0.000	0.000	0.000	0.000
31	0.983	16.107	0.000	0.000	0.000	0.000	0.000
32	1.009	16.950	0.000	0.000	0.000	0.000	0.000
33	0.998	13.039	112.000	0.000	0.000	0.000	0.000
34	1.002	6.971	0.000	0.000	0.000	0.000	0.000
35	0.940	7.296	0.000	0.000	0.000	0.000	0.000
36	1.007	1.868	102.000	0.000	0.000	0.000	19.460
37	0.997	20.725	0.000	0.000	0.000	0.000	0.000
38	0.973	15.449	0.000	0.000	0.000	0.000	0.000

39	0.933	-6.092	267.000	12.600	0.000	0.000	0.000
40	0.879	25.228	65.630	23.530	0.000	0.000	0.000
41	0.992	55.316	1000.000	250.000	0.000	0.000	0.000
42	0.995	46.667	1150.000	250.000	0.000	0.000	0.000
43	0.961	-5.719	0.000	0.000	0.000	0.000	0.000
44	0.959	-5.706	267.550	4.840	0.000	0.000	0.000
45	0.918	8.219	208.000	21.000	0.000	0.000	0.000
46	0.939	15.757	150.700	28.500	0.000	0.000	0.000
47	0.916	15.847	203.120	32.590	0.000	0.000	0.000
48	0.897	17.882	241.200	2.200	0.000	0.000	0.000
49	0.918	18.761	164.000	29.000	0.000	0.000	0.000
50	0.936	31.758	100.000	0.000	0.000	0.000	147.000
51	0.915	14.166	337.000	0.000	0.000	0.000	122.000
52	0.995	19.791	158.000	30.000	0.000	0.000	0.000
53	0.955	15.684	252.700	118.560	0.000	0.000	0.000
54	1.015	21.490	0.000	0.000	0.000	0.000	0.000
55	0.998	19.472	322.000	2.000	0.000	0.000	0.000
56	0.986	19.998	200.000	73.600	0.000	0.000	0.000
57	0.986	20.289	0.000	0.000	0.000	0.000	0.000
58	0.989	20.950	0.000	0.000	0.000	0.000	0.000
59	0.977	18.343	234.000	84.000	0.000	0.000	0.000
60	0.975	17.654	208.800	70.800	0.000	0.000	0.000
61	0.983	8.071	104.000	125.000	0.000	0.000	0.000
62	1.000	23.666	0.000	0.000	0.000	0.000	0.000
63	0.995	22.747	0.000	0.000	0.000	0.000	0.000
64	1.034	22.808	9.000	88.000	0.000	0.000	0.000
65	0.995	23.017	0.000	0.000	0.000	0.000	0.000
66	0.990	21.509	0.000	0.000	0.000	0.000	0.000
67	0.986	20.770	320.000	153.000	0.000	0.000	0.000
68	1.002	22.119	329.000	32.000	0.000	0.000	0.000
<b>Total</b>							
		17620.700	2352.220	17844.199	6717.739	380.460	

## Line Flow and Losses

--Line-- Power at bus & line flow --Line loss-- Transformer  
from to MW Mvar MVA MW Mvar tap

1	250.000	321.558	407.307			
54	250.000	321.558	407.308	-0.000	27.497	
2	545.000	259.490	603.622			
58	545.000	259.490	603.622	0.000	94.846	
3	650.000	283.841	709.271			
62	650.000	283.841	709.271	-0.000	104.123	
4	632.000	189.383	659.765			
19	632.000	189.383	659.765	3.065	62.184	
5	505.000	200.420	543.317			
20	505.000	200.420	543.317	2.599	51.985	
6	700.000	332.976	775.160			
22	700.000	332.976	775.160	0.000	77.936	
7	560.000	163.877	583.486			
23	560.000	163.877	583.486	1.506	81.953	
8	540.000	141.051	558.118			
25	540.000	141.051	558.118	1.762	68.119	
9	800.000	203.872	825.569			
29	800.000	203.872	825.569	5.190	101.201	
10	500.000	287.484	576.756			
31	500.000	287.484	576.756	-0.000	84.784	
11	1000.000	295.460	1042.735			
32	1000.000	295.460	1042.735	0.000	141.349	
12	1350.000	705.606	1523.279			
36	1350.000	705.606	1523.279	0.000	168.723	
13	3027.199	1404.859	3337.298			
17	3027.199	1404.859	3337.299	0.000	359.585	
14	1785.000	534.707	1863.367			



--Line-- Power at bus & line flow --Line loss-- Transformer  
from to MW Mvar MVA MW Mvar tap

	41	1785.000	534.707	1863.367	0.000	52.082
15		1000.000	334.859	1054.576		
	42	1000.000	334.859	1054.576	0.000	16.682
16		4000.000	1058.296	4137.631		
	18	4000.000	1058.297	4137.631	0.000	513.600
17		-6000.000	-300.000	6007.495		
		13-3027.199	-1045.274	3202.582	0.000	359.585
		36-2968.239	570.375	3022.544	44.868	403.811
	43	-4.562	174.899	174.958	0.150	8.298
18		-2470.000	-123.000	2473.061		
	16	-4000.000	-544.697	4036.917	0.000	513.600
	49	333.458	98.465	347.691	9.652	144.903
	42	-94.470	-22.627	97.142	0.397	5.948
	50	1291.013	345.859	1336.537	11.259	270.227
19		0.000	0.000	0.000		
	4	-628.935	-127.200	641.668	3.065	62.184
	68	451.092	167.841	481.305	3.443	41.964
	20	177.842	-40.642	182.427	0.243	4.794
20		-680.000	-103.000	687.756		
	5	-502.401	-148.435	523.870	2.599	51.985
	19	-177.599	45.435	183.319	0.243	4.794
21		-274.000	-115.000	297.155		
	68	361.699	20.317	362.269	1.036	17.478
	22	-635.699	-135.317	649.942	3.334	58.339
22		0.000	0.000	0.000		
	6	-700.000	-255.040	745.014	0.000	77.936
	21	639.033	193.656	667.732	3.334	58.339
	23	60.967	61.383	86.515	0.042	0.672
23		-248.000	-85.000	262.162		
	7	-558.494	-81.925	564.470	1.506	81.953
	22	-60.925	-60.712	86.011	0.042	0.672
	24	371.419	57.636	375.864	2.939	46.756



--Line-- Power at bus & line flow --Line loss-- Transformer  
from to MW Mvar MVA MW Mvar tap

24	-309.000	92.000	322.405			
23	-368.480	-10.880	368.640	2.939	46.756	
68	59.480	102.880	118.837	0.042	0.819	
25	-224.000	-47.000	228.878			
8	-538.238	-72.932	543.157	1.762	68.119	1.025
54	249.437	-50.892	254.576	4.297	5.280	
26	64.801	76.825	100.505	0.306	3.091	
26	-139.000	-17.000	140.036			
25	-64.495	-73.734	97.961	0.306	3.091	
27	226.346	61.224	234.480	0.768	8.059	
28	-125.565	-0.311	125.565	0.676	7.452	
29	-175.286	-4.180	175.336	1.747	19.159	
27	-281.000	-76.000	291.096			
37	-78.387	-32.185	84.737	0.095	1.268	
26	-225.578	-53.165	231.759	0.768	8.059	
53	22.965	9.350	24.796	0.201	2.008	
28	-206.000	-28.000	207.894			
26	126.241	7.763	126.479	0.676	7.452	
29	-332.241	-35.763	334.160	1.536	16.570	
29	-284.000	-27.000	285.281			
9	-794.810	-102.672	801.414	5.190	101.201	1.025
26	177.033	23.339	178.565	1.747	19.159	
28	333.777	52.333	337.855	1.536	16.570	
30	0.000	0.000	0.000			
53	-74.690	48.967	89.311	0.659	6.100	
61	732.754	-42.936	734.010	5.289	50.946	
31	-360.760	43.666	363.393	1.774	25.520	
32	-297.303	-49.697	301.428	2.254	27.042	
31	0.000	0.000	0.000			
10	-500.000	-202.700	539.525	-0.000	84.784	1.040
30	362.534	-18.146	362.988	1.774	25.520	
53	58.380	161.817	172.026	0.490	4.996	
38	79.086	59.030	98.687	0.111	1.483	
32	0.000	0.000	0.000			



--Line-- Power at bus & line flow --Line loss-- Transformer  
from to MW Mvar MVA MW Mvar tap

11-1000.000 -154.111 1011.805 0.000 141.349 1.040

30 299.557 76.739 309.230 2.254 27.042

33 700.443 77.372 704.703 3.901 48.276

33 -112.000 0.000 112.000

32 -696.542 -29.095 697.149 3.901 48.276

34 671.200 -36.960 672.217 4.987 71.181

38 -86.658 66.055 108.963 0.429 5.289

34 0.000 0.000 0.000

33 -666.213 108.141 674.932 4.987 71.181

35 -74.686 121.356 142.497 0.020 1.496

36 740.899 -229.497 775.629 19.759 66.463

35 0.000 0.000 0.000

34 74.707 -119.861 141.236 0.020 1.496 0.946

45 -74.707 119.861 141.236 0.158 3.952

36 -102.000 19.460 103.840

12-1350.000 -536.883 1452.840 0.000 168.723 1.040

17 3013.107 -166.564 3017.707 44.868 403.811

34 -721.140 295.960 779.510 19.759 66.463

61-1043.967 426.947 1127.897 13.789 122.850

37 0.000 0.000 0.000

27 78.482 33.453 85.315 0.095 1.268

68 -276.180 -40.348 279.112 0.549 6.981

52 197.697 6.896 197.818 0.276 3.231

38 0.000 0.000 0.000

31 -78.975 -57.547 97.717 0.111 1.483

33 87.087 -60.766 106.191 0.429 5.289

46 -8.112 118.313 118.591 0.327 4.219

39 -267.000 -12.600 267.297

44 -14.683 -60.347 62.108 0.000 1.823

45 -252.317 47.747 256.795 0.000 63.604

40 -65.630 -23.530 69.721

41 -516.672 58.718 519.997 20.976 293.663

48 451.042 -82.248 458.479 5.435 59.790



--Line-- Power at bus & line flow --Line loss-- Transformer

from	to	MW	Mvar	MVA	MW	Mvar	tap
------	----	----	------	-----	----	------	-----

41		-1000.000	-250.000	1030.776			
	14	-1785.000	-482.625	1849.095	0.000	52.082	
40	537.648	234.945	586.740	20.976	293.663		
42	247.352	-2.320	247.363	2.485	37.282		
42		-1150.000	-250.000	1176.860			
	15	-1000.000	-318.177	1049.398	0.000	16.682	
41	-244.867	39.602	248.049	2.485	37.282		
18	94.867	28.575	99.077	0.397	5.948		
43		0.000	0.000	0.000			
17	4.712	-166.600	166.667	0.150	8.298		
44	-4.712	166.600	166.667	0.030	0.331		
44		-267.550	-4.840	267.594			
39	14.683	62.170	63.880	0.000	1.823		
43	4.742	-166.269	166.337	0.030	0.331		
45	-286.975	99.260	303.656	2.505	73.147		
45		-208.000	-21.000	209.057			
35	74.865	-115.909	137.984	0.158	3.952		
39	252.317	15.857	252.815	0.000	63.604		
44	289.480	-26.112	290.656	2.505	73.147		
51	-824.662	105.164	831.340	3.279	86.073		
46		-150.700	-28.500	153.371			
38	8.439	-114.093	114.405	0.327	4.219		
49	-159.139	85.593	180.697	0.667	10.155		
47		-203.120	-32.590	205.718			
53	0.314	-187.248	187.248	0.543	7.849		
48	-203.434	154.658	255.548	0.972	10.420		
48		-241.200	-2.200	241.210			
40	-445.606	142.038	467.696	5.435	59.790		
47	204.406	-144.238	250.173	0.972	10.420		
49		-164.000	-29.000	166.544			
18	-323.806	46.438	327.119	9.652	144.903		
46	159.806	-75.438	176.717	0.667	10.155		
50		-100.000	147.000	177.789			
51	1179.753	222.632	1200.576	14.812	363.723		



--Line-- Power at bus & line flow --Line loss-- Transformer  
from to MW Mvar MVA MW Mvar tap

18-1279.753 -75.632 1281.986 11.259 270.227

51 -337.000 122.000 358.403

45 827.941 -19.091 828.161 3.279 86.073

50-1164.941 141.091 1173.454 14.812 363.723

52 -158.000 -30.000 160.823

37 -197.421 -3.665 197.456 0.276 3.231

55 39.421 -26.335 47.409 0.025 0.302

53 -252.700 -118.560 279.130

30 75.350 -42.867 86.690 0.659 6.100

31 -57.890 -156.821 167.164 0.490 4.996

47 0.229 195.097 195.097 0.543 7.849

54 -247.624 -106.627 269.605 2.790 32.768

27 -22.765 -7.342 23.919 0.201 2.008

54 0.000 0.000 0.000

1 -250.000 -294.060 385.968 -0.000 27.497 1.025

25 -245.139 56.172 251.493 4.297 5.280

53 250.414 139.395 286.598 2.790 32.768

55 244.725 98.493 263.802 0.878 10.200

55 -322.000 -2.000 322.006

52 -39.397 26.638 47.557 0.025 0.302

54 -243.847 -88.293 259.340 0.878 10.200

56 -38.756 59.656 71.140 0.066 1.083

56 -200.000 -73.600 213.113

55 38.823 -58.573 70.271 0.066 1.083

57 -38.566 -0.644 38.572 0.012 0.196

66 -200.256 -14.382 200.772 0.332 5.352

57 0.000 0.000 0.000

56 38.579 0.840 38.588 0.012 0.196

58 -438.609 -76.027 445.149 0.408 5.299

60 400.030 75.187 407.035 1.363 19.084

58 0.000 0.000 0.000

2 -545.000 -164.644 569.327 0.000 94.846 1.070

57 439.016 81.326 446.485 0.408 5.299

--Line-- Power at bus & line flow --Line loss-- Transformer  
from to MW Mvar MVA MW Mvar tap

59	484.869	113.386	497.951	1.521	23.321	
63	-378.886	-30.067	380.077	1.034	12.110	
59	-234.000	-84.000	248.620			
58	-483.349	-90.065	491.668	1.521	23.321	
60	249.349	6.065	249.422	0.261	3.001	
60	-208.800	-70.800	220.477			
57	-398.667	-56.103	402.595	1.363	19.084	
59	-249.088	-3.064	249.106	0.261	3.001	
61	438.955	-11.634	439.109	4.662	73.581	
61	-104.000	-125.000	162.607			
30	-727.464	93.882	733.497	5.289	50.946	
36	1057.757	-304.097	1100.602	13.789	122.850	
60	-434.292	85.215	442.574	4.662	73.581	
62	0.000	0.000	0.000			
3	-650.000	-179.718	674.388	-0.000	104.123	1.070
63	379.780	93.086	391.022	0.611	6.574	
65	270.220	86.632	283.767	0.322	3.462	
63	0.000	0.000	0.000			
58	379.920	42.178	382.254	1.034	12.110	
62	-379.168	-86.513	388.913	0.611	6.574	
64	-0.751	44.335	44.342	0.032	0.864	
64	-9.000	-88.000	88.459			
63	0.783	-43.471	43.478	0.032	0.864	1.060
65	-9.783	-44.529	45.591	0.035	0.951	1.060
65	0.000	0.000	0.000			
62	-269.898	-83.170	282.422	0.322	3.462	
64	9.818	45.480	46.527	0.035	0.951	
66	260.080	37.690	262.797	0.627	7.041	
66	0.000	0.000	0.000			
56	200.588	19.735	201.557	0.332	5.352	
65	-259.453	-30.649	261.257	0.627	7.041	
67	58.865	10.915	59.868	0.066	0.794	

--Line-- Power at bus & line flow --Line loss-- Transformer  
from to MW Mvar MVA MW Mvar tap

67	-320.000	-153.000	354.696			
66	-58.799	-10.120	59.663	0.066	0.794	
68	-261.201	-142.880	297.726	0.820	8.568	
 68	 -329.000	 -32.000	 330.553			
19	-447.649	-125.877	465.010	3.443	41.964	
21	-360.663	-2.840	360.675	1.036	17.478	
24	-59.438	-102.061	118.107	0.042	0.819	
37	276.729	47.330	280.747	0.549	6.981	
67	262.022	151.448	302.642	0.820	8.568	

Total loss 223.499 4745.981

بعد از انجام پخش بار برنامه‌ای تحت عنوان `bloss` برای به دست آوردن ماتریس ضرایب تلفات شبکه اجرا می‌گردد. این ماتریس ضرایب، که به نتایج پخش بار شبکه بستگی دارد، برای پخش بار فوق در زیر ارائه شده است.

$B^{(2)} =$

Columns 1 through 15

0.0053	0.0014	0.0014	0.0012	0.0013	0.0014	0.0011	0.0014	0.0011	0.0006	0.0000	-0.0003	-0.0006	-0.0008	-0.0010
0.0014	0.0021	0.0019	0.0011	0.0011	0.0012	0.0011	0.0009	0.0009	0.0002	0.0000	-0.0001	-0.0003	-0.0008	-0.0009
0.0014	0.0019	0.0026	0.0013	0.0013	0.0014	0.0013	0.0011	0.0010	0.0002	-0.0000	-0.0002	-0.0004	-0.0008	-0.0009
0.0012	0.0011	0.0013	0.0046	0.0038	0.0024	0.0023	0.0016	0.0017	-0.0001	-0.0003	-0.0005	-0.0006	-0.0009	-0.0011
0.0013	0.0011	0.0013	0.0038	0.0057	0.0025	0.0023	0.0016	0.0016	-0.0001	-0.0004	-0.0006	-0.0007	-0.0010	-0.0011
0.0014	0.0012	0.0014	0.0024	0.0025	0.0037	0.0033	0.0017	0.0018	-0.0000	-0.0003	-0.0005	-0.0007	-0.0010	-0.0011
0.0011	0.0011	0.0013	0.0023	0.0023	0.0033	0.0040	0.0017	0.0017	-0.0000	-0.0003	-0.0004	-0.0006	-0.0009	-0.0010
0.0014	0.0009	0.0011	0.0016	0.0016	0.0017	0.0017	0.0065	0.0036	-0.0000	-0.0003	-0.0005	-0.0007	-0.0009	-0.0010
0.0011	0.0009	0.0010	0.0017	0.0016	0.0018	0.0017	0.0036	0.0076	-0.0001	-0.0004	-0.0006	-0.0007	-0.0010	-0.0011
0.0006	0.0002	0.0002	-0.0001	-0.0001	-0.0000	-0.0000	-0.0000	-0.0001	0.0017	0.0007	0.0001	-0.0001	-0.0003	-0.0004
0.0000	0.0000	-0.0000	-0.0003	-0.0004	-0.0003	-0.0003	-0.0003	-0.0004	0.0007	0.0018	0.0002	0.0000	-0.0003	-0.0002
-0.0003	-0.0001	-0.0002	-0.0005	-0.0006	-0.0005	-0.0004	-0.0005	-0.0006	0.0001	0.0002	0.0011	0.0008	-0.0008	-0.0008
-0.0006	-0.0003	-0.0004	-0.0006	-0.0007	-0.0007	-0.0006	-0.0007	-0.0007	-0.0001	0.0000	0.0008	0.0010	-0.0008	-0.0008
-0.0008	-0.0008	-0.0008	-0.0009	-0.0010	-0.0010	-0.0009	-0.0009	-0.0010	-0.0003	-0.0003	-0.0008	-0.0008	0.0049	0.0026
-0.0010	-0.0009	-0.0009	-0.0011	-0.0011	-0.0011	-0.0010	-0.0010	-0.0011	-0.0004	-0.0002	-0.0008	-0.0008	0.0026	0.0040
-0.0007	-0.0007	-0.0007	-0.0009	-0.0010	-0.0009	-0.0009	-0.0009	-0.0010	-0.0002	0.0001	-0.0004	-0.0005	0.0006	0.0011

Column 16

-0.0007

-0.0007  
-0.0007  
-0.0009  
-0.0010  
-0.0009  
-0.0009  
-0.0009  
-0.0010  
-0.0002  
0.0001  
-0.0004  
-0.0005  
0.0006  
0.0011  
0.0018

 $B^{(1)} =$ 

1.0e-003 \*

Columns 1 through 15

0.3313 0.1241 0.1101 0.0693 0.0967 0.0963 0.0463 0.0556 0.0340 0.1854 -0.0124 -0.0296 -0.1970 -0.0734 -0.0509

Column 16

-0.1470

 $B^{(0)} = 0.0021$ 

بعد از محاسبه ماتریس ضرایب تلفات و میزان تلفات برنامه‌ای تحت عنوان PTDF68BUS برای محاسبه ماتریس فاکتور توزیع تولید کلی (GGDF) اجرا می‌گردد. همانگونه که توضیح داده شد، این ماتریس تبدیل به منظور محاسبه توان خطوط از روی توان تولیدی ژنراتورها مورد استفاده قرار می‌گیرد. ماتریس حاصله یک ماتریسی با ابعاد  $N_{\text{br}} \times n_{\text{gg}}$  به نام D می‌باشد.

بدین ترتیب بعد از انجام پخش بار و اقدامات اولیه می‌توان حل مسئله OED را آغاز نمود. بدین منظور، ابتدا ماتریس خطی  $Ax \leq b$  مطابق آنچه که در بخش ۳ مطرح گردید، تشکیل می‌گردد. بعد از آن قیدهای maxVE(A,b) تکراری مسئله حذف گردیده و در ادامه بزرگترین بیضی داخل این چند وجهی با دستور

محاسبه می‌گردد. خروجی اینتابع ماتریس مشخصه H و مرکز بیضی xc می‌باشد.

[ Pcenter , H ]=maxVe2( A , b )

بر صورتی که از toolbox برنامه مطلب تحت عنوان MPT<sup>1</sup> استفاده شود با دستورات زیر می‌توان بیضی

مذکور را محاسبه نمود. از مقایسه بیضی‌های حاصله می‌توان فهمید که هر دو روش به نتایج دقیقاً یکسان منجر خواهد شد.

```

poly=polytope(A,b,1);
[invH,xc]=mpt_getInnerEllipsoid(poly);
H=inv(invH);
Pcenter=xc;

```

بعد از محاسبه بیضی مذکور، حل مسئله بهینه سازی ۱۱-۳ توسط دستورات زیر انجام می‌گردد.

With the introduction of the new curriculum, the Ministry of Education has issued a set of guidelines for the implementation of the curriculum. These guidelines provide a framework for teachers to follow when planning and implementing the curriculum. The guidelines also provide a clear understanding of the expectations for students and parents. The guidelines are available online at the Ministry of Education website.

```
% solving Economic Dispatch

% generators marginal cost ($/pu)
C=[60 68 46 52 55 49 50 60 62 65 57 55 35 48 48 41]/basemva;

P=sdpvar(n gg,1);
obj=C*P;
F1=[1 (P-Pcenter)'; (P-Pcenter) H];
F=set(F1>0);
PLtot=sum(Pd);
F=F+set(ones(1,n gg)*P==Loss+Bx*(P-Pgg')+PLtot);
solvesdp(F,obj);
Pnew=double(P)
cost=C*Pnew;
```

با هر بار اجرای این برنامه مقدار جدیدی برای توان تولیدی ژنراتورها حاصل می‌گردد. این مقدار توان جدید

مجدداً در برنامه پخش بار وارد شده و دوباره مسئله OED حل می‌گردد. این کار تا آنجایی تکرار می‌گردد که

مسئله همگرا گردیده و توان تولیدی جدید با قبلي برابر باشد. برنامه زير کد مربوط به تزریق توان جدید در

برنامه پخش بار می باشد.

```

for n=1:ngg
    if kb(n)==2
        busdata(n,7)=Pnew(n);
    end
end

```

به منظور سنجش همگانی، از اندازه نرم به نهایت بسیار توان تولیدی حديد و قدیم استفاده می‌گردند.

```
discount=norm(Pnew-Pgg',inf);
```

## <sup>1</sup> Multi-Parametrix Toolbox

جدول ۱-۴ داده های مورد نیاز جهت حل مسئله OED را ارائه می نماید. این اطلاعات شامل قیمت پیشنهادی هر ژنراتور و میزان مینیمم و ماکزیمم تولید این واحدها می باشد.

جدول ۱-۴: داده های مربوط به واحدهای تولیدی، قیمت پیشنهادی و حدود تولیدی

Gen No.	Gen Node	$C_{Gi}$ [\$/p.u.]	Pmin [p.u]	Pmax [p.u.]	Gen No.	Gen Node	$C_{Gi}$ [\$/p.u.]	Pmin [p.u]	Pmax [p.u.]
1	53	60	0	3.0	9	61	62	0	8.5
2	54	68	0	8.0	10	62	65	0	6.0
3	55	46	0	7.7	11	63	57	0	12.0
4	56	52	0	8.7	12	64	55	0	15.0
5	57	55	0	6.5	13	65 (slack)	35	0	70.0
6	58	55	0	8.0	14	66	48	0	19.0
7	59	49	0	6.0	15	67	48	0	12.0
8	60	60	0	6.0	16	68	41	0	45.0

توجه: دیگر اطلاعات مورد نیاز، میزان ماکزیمم توان مجاز عبوری از خطوط می باشد که مatasفانه نه در مقاله حاضر و نه در مرجع اصلی که اطلاعات شبکه از آن استخراج شده است [۴]، وجود ندارد. به همین خاطر مقادیر مذکور به صورت اعداد منطقی لحاظ شده است. اختلاف جزئی بین نتایج حاصل از شبیه سازی و نتایج ارائه شده در مقاله به همین خاطر می باشد. اختلاف دیگری که بین داده های موجود در مقاله و مرجع [۴] این است که میزان کل با در مقاله ۱۸۲/۳۴ p.u. عنوان شده در حالی که این مقدار در مرجع [۴] ۱۷۶/۲۰ p.u. می باشد که این موضوع سبب می شود که میزان توان تولیدی و در نتیجه هزینه تولید انرژی در مقاله بیشتر از نتایج شبیه سازی که از داده های مرجع مذکور استفاده می کند، شود. تاکید می گردد که داده های مربوط به شبکه در مقاله ارائه نشده است و با وجود جستجوی بسیار در internet هم به دست نیامده است. حال جهت مقایسه و اطمینان از صحت شبیه سازی، نتایج حاصل از شبیه سازی و نتایج موجود در مقاله ارائه مقایسه می گردد. در اینجا تنها نتایج حالت نرمال مورد بررسی قرار گرفته اند. همانگونه که قبلًا توضیح داده شده، نتایج حالت contingency با اشتراک گیری از همه ی چند وجهی های حالت نرمال و حالت

contingency به دست می آید. جدول ۲-۴ محدوده عملکردی ژنراتورها در مقاله نشان می دهد. این محدوده

با استفاده از تصویر<sup>۱</sup> بزرگترین بیضی داخل چند وجهی روی محورها به دست آمده است.

جدول ۲-۴: محدوده عملکردی ژنراتورها با استفاده از تصویر (projection) بیضی حاصله روی محورها (مقاله)

Gen Number	Gen node	Pcenter (ellipsoid) [p.u.]	Pmin (ellipsoid) [p.u.]	Pmax (ellipsoid) [p.u.]
1	53	2.310	1.639	2.981
2	54	5.742	4.995	6.488
3	55	6.203	5.455	6.952
4	56	5.672	5.008	6.335
5	57	5.606	5.033	6.179
6	58	7.055	6.364	7.746
7	59	5.252	4.521	5.983
8	60	4.982	4.253	5.712
9	61	7.853	7.571	8.136
10	62	4.970	4.491	5.450
11	63	9.272	8.644	9.899
12	64	13.651	12.519	14.782
13	65 (slack)	36.403	33.537	39.269
14	66	17.529	17.492	17.566
15	67	10.017	9.972	10.061
16	68	39.823	39.765	39.882

به منظور تصویر بیضی حاصله از مراحل قبل، روی محورهای موجود و در نتیجه تعیین محدوده کاری ژنراتورها برنامه‌ای تحت عنوان PROJECTION و با استفاده از toolbox متلب تحت عنوان MPT نوشته شده است. این برنامه ابتدا با تصویر بیضی حاصله تمام محورها محدوده کاری ژنراتورها را ارائه می نماید. بدین منظور ابتدا با استفاده از تبدیل  $Cx = \hat{x}$  که  $C = [0 \dots 0 \quad 1 \quad 0 \dots 0]$  در محل  $\hat{x}$  قرار دارد) تصویر بیضی روی محور  $\hat{x}$  به دست می آید. بعد با انجام دو مسئله بهینه‌سازی (maximization و minimization) به دست می آیند. نتایج حاصله از این برنامه در ادامه ارائه شده است. مقدار مینیمم و ماکزیمم تصویر روی محور  $\hat{x}$  که معادل محدوده مینیمم و ماکزیمم عملکرد ژنراتور  $\hat{x}$  است،

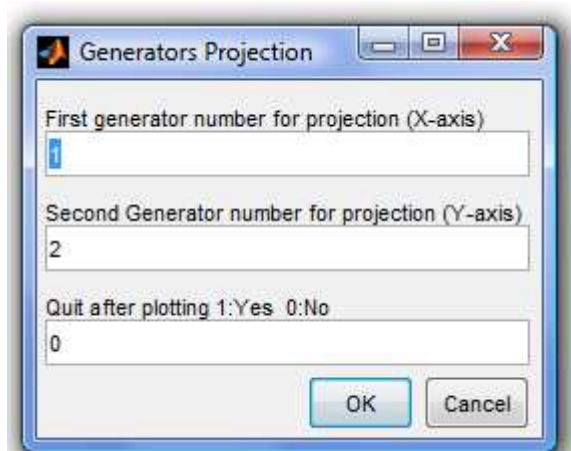
<sup>1</sup> Projection



## Generators feasibility rang

Gen No.	Pcenter	Pmin	Pmax
1	2.518	2.036	3.000
2	6.495	6.006	6.984
3	6.498	6.011	6.985
4	6.496	6.012	6.980
5	6.015	5.529	6.500
6	6.497	6.014	6.980
7	5.521	5.041	6.000
8	5.516	5.033	6.000
9	6.501	6.018	6.984
10	5.539	5.078	6.000
11	9.645	9.191	10.099
12	14.675	14.349	15.000
13	37.622	35.244	40.000
14	4.429	4.065	4.793
15	11.711	11.422	12.000
16	39.674	39.347	40.000

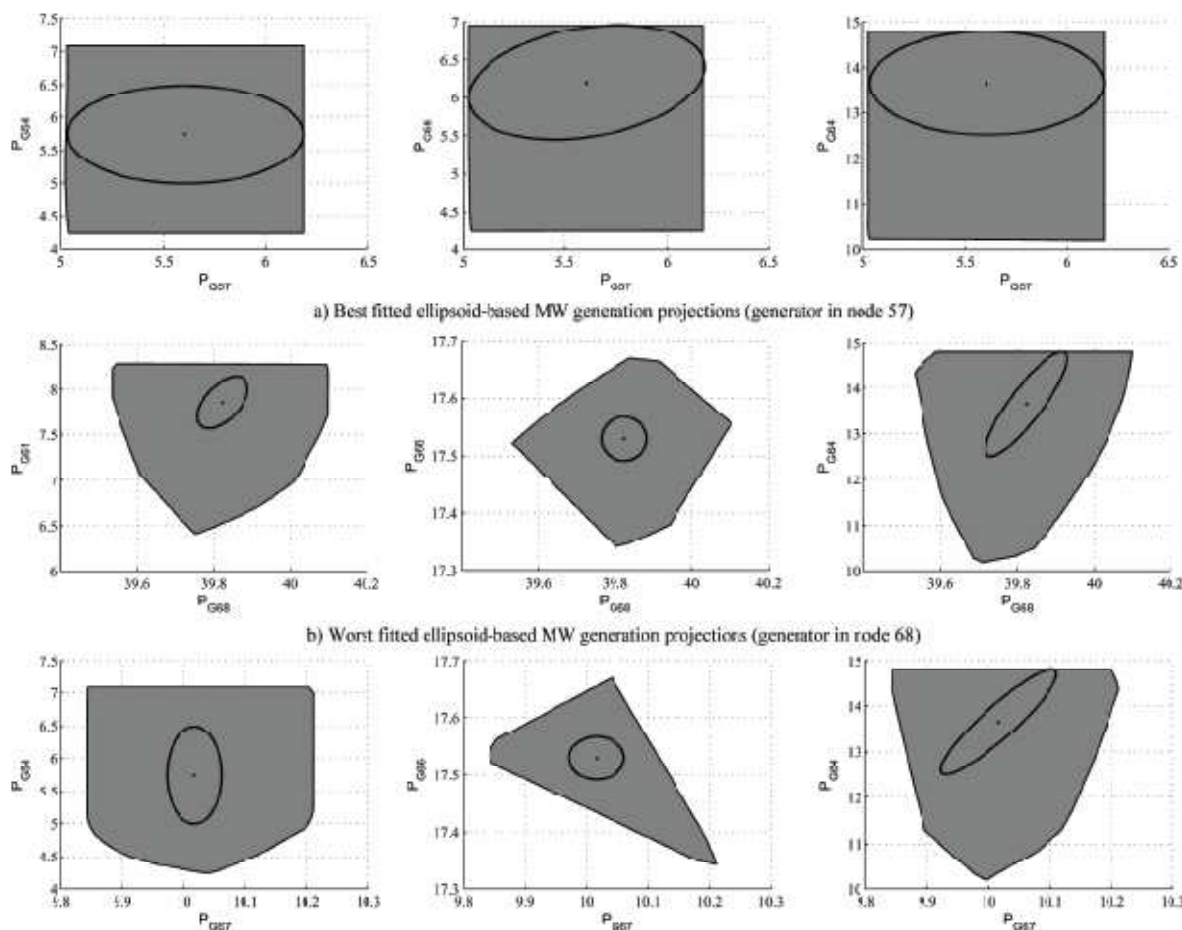
این برنامه به گونه‌ای نوشته شده است که کاربر می‌تواند محدود عملکرد هر دو ژنراتور را (هم در حالت بیضی و هم در حالت چند وجهی) در یک صفحه نسبت به هم مشاهده نماید. بدین منظور با اجرای برنامه فوق بعد از نمایش محدوده عملکردی ژنراتورها، پنجره‌ای مشابه شکل ۲-۴ ظاهر می‌گردد که به کاربر اجازه می‌دهد تصویر هر دو ژنراتوری را که می‌خواهد، به منظور نمایش وارد نماید.



شکل ۲-۴: پنجره ورود اطلاعات جهت تصیر بیضی و چند وجهی مربوط به هر دو ژنراتور

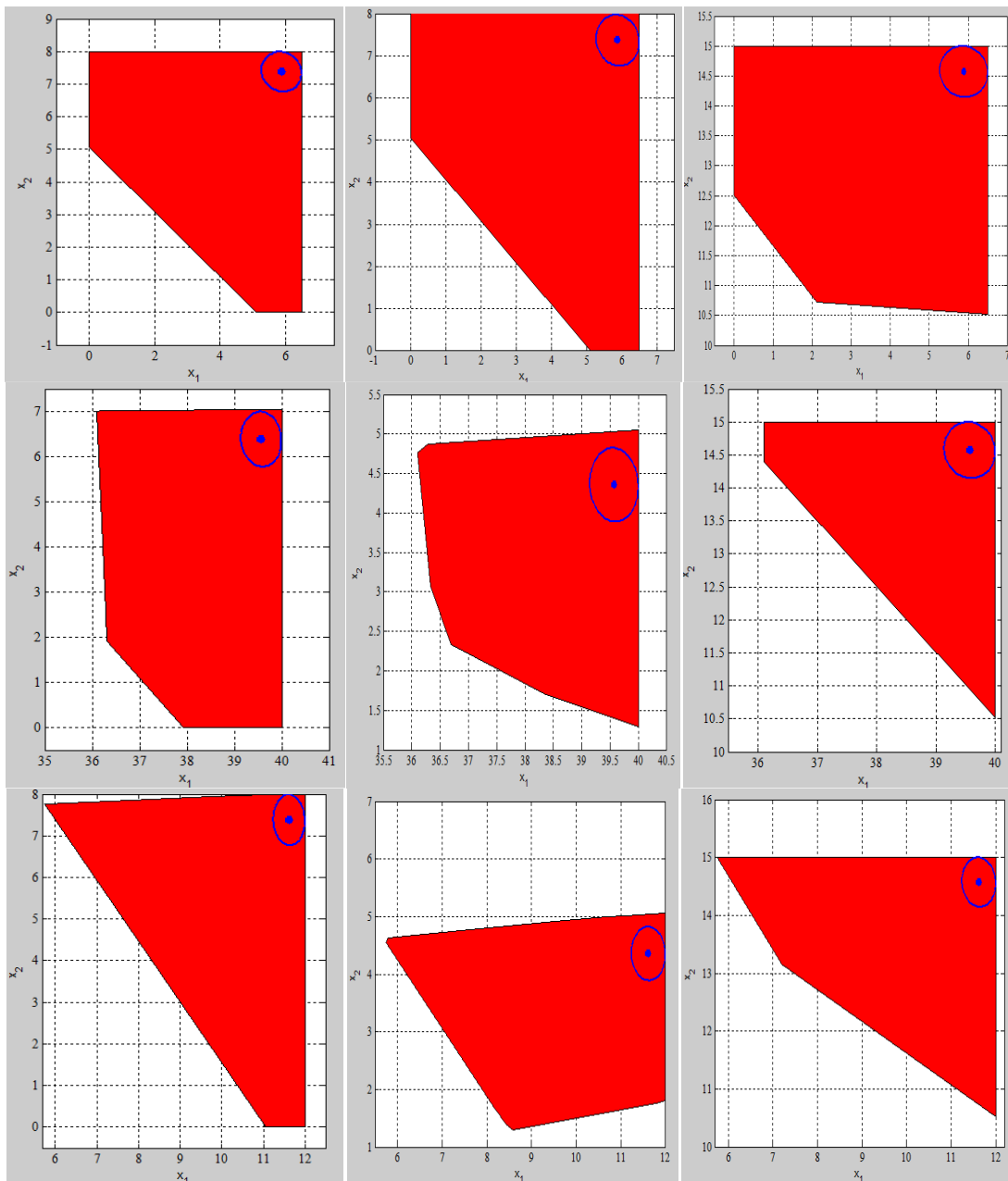
بدین ترتیب به راحتی می توان نتایج حاصل از شبیه سازی و نتایج مندرج در مقاله را با هم مقایسه نمود. شکل

۴-۳ نتایج حاصل از این تصویر را که در مقاله ارائه شده است نشان می دهد.



شکل ۴-۳: تصویر محدود عملکرد دو ژنراتور نسبت به هم در دو حالت بیضی و چند وجهی (نتایج مقاله)

به طور مشابه نتایج مربوط به شبیه سازی در شکل ۴-۴ نشان داده شده است.



شکل ۴-۴: تصویر محدود عملکرد دو ژنراتور نسبت به هم در دو حالت بیضی و چند وجهی (نتایج شبیه‌سازی)

چگونگی اشکال بالا تا حد بسیار زیادی حساس به قیدهایی است که در مسئله لحاظ شده است. از آنجا که محدودیت مرتبط با توان عبوری از خطوط در مقاله و در مرجع اصلی ارائه نشده است، اختلاف بین اشکال مقاله و شبیه‌سازی به همین خاطر می‌باشد.

در ادامه نتایج مربوط به پخش بار اقتصادی (OED) ارائه می گردد. جدول ۳-۴ توان درنظر گرفته شده برای ژنراتورها در مقاله و شبیه سازی انجام شده را برای داشتن پخش بار اقتصادی نشان می دهد.

جدول ۳-۴: نتایج پخش بار اقتصادی در حالت نرمال

Gen Number	Gen node	Pgen (paper) [p.u.]	Pgen (sim.) [p.u.]
1	53	2.54	1.47
2	54	5.38	6.08
3	55	6.51	6.91
4	56	5.67	5.71
5	57	5.59	5.12
6	58	7.07	5.82
7	59	5.35	4.77
8	60	4.43	4.43
9	61	7.36	5.41
10	62	5.2	4.17
11	63	9.45	9.84
12	64	13.41	13.94
13	65 (slack)	38.54	39.01
14	66	17.53	16.03
15	67	10.02	9.58
16	68	39.81	39.22
Total gen.	-	183.85	177.47
Fmin [\\$]	-	8673.0	8327.0

مشاهده می شود که نتایج شبیه سازی با مقادیر ارائه شده در مقاله سازگاری دارد. همانگونه که قبلاً توضیح داده شده، اختلاف موجود به دو دلیل می باشد. اول به خاطر عدم دسترسی به قیود مربوط به توان عبوری خطوط و دیگری به خاطر اختلاف در میزان کل بار مصرفی / تولیدی در مقاله و مرجع مربوط به شبکه.

اختلاف توان کل تولیدی در دو حالت برابر است با:

$$183.85 - 177.47 = 6.38 \text{ p.u.}$$

اگر این مقدار را در  $\$/\text{p.u.} = 55$  به عنوان هزینه تولید متوسط ژنراتورها ضرب نماییم:  
 $6.38 \text{ p.u.} * 55 \text{ \$/p.u.} = 350.9 \text{ \$}$

که تقریباً برابر اختلاف هزینه کل در دو حالت می باشد و این نشان دهنده این است که اگر توان تولیدی/صرفی در دو حالت با هم برابر می بودند (داده های شبیه سازی مقاله و شبیه سازی حاضر یکسان بودند) نتایج مشابه تری حاصل می گردید.

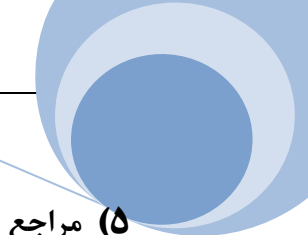
در انتهای نتایج مربوط به محاسبه قیمت هر ژنراتور (<sup>۱</sup>LMP) مورد بررسی قرار می گیرد. طبق تعریف، قیمت هر باس برابر است با هزینه مصرف MW ۱ اضافی در باس مربوطه. در اینجا نیز طبق همین تعریف قیمت هر باس محاسبه شده است. یعنی MW ۱ به میزان بار باس مربوطه اضافه گشته و سپس مسئله OED حل می گردد. اختلاف هزینه کل در این حالت با حالت قبل به عنوان قیمت انرژی در آن باس لحاظ می گردد. بدین منظور برنامه ای تحت عنوان Local Marginal Price نوشته شده است که نتایج آن در زیر ارائه گردیده است.

جدول ۴-۴: نتایج محاسبه قیمت انرژی الکتریکی در باس ژنراتورها در حالت نرمال

Gen Number	Gen node	Pgen (paper) [p.u.]	Pgen (sim.) [p.u.]
1	53	54.12	55.48
2	54	56.67	57.32
3	55	52.15	44.23
4	56	53.12	49.68
5	57	53.67	54.19
6	58	51.98	46.28
7	59	51.17	53.80
8	60	53.12	54.97
9	61	55.04	58.99
10	62	54.23	55.10
11	63	55.34	56.49
12	64	54.67	57.36
13	65 (slack)	55.25	54.88
14	66	30.16	47.69
15	67	37.95	46.72
16	68	48.15	46.13
Average Price [\$/p.u.]	-	49.81	51.04

<sup>۱</sup> Local Marginal Price

از مقایسه نتایج شبیه سازی و نتایج موجود در مقاله مشاهده می شود که محاسبات انجام شده در دو حالت بسیار به هم نزدیک می باشد. دلیل اختلاف ناچیز موجود نیز قبلاً توضیح داده شده است. مجدداً تاکید می گردد که مسئله LMP به میزان تراکم توان عبور خطوط بسیار حساس می باشد و به خاطر ناسازگاری در اطاعات مربوطه این اختلاف مشاهده می گردد.



## ۵) مراجع

- [۱] H. Saadat, "Power System Analysis". New York: McGraw-Hill, 1999.
- [۲] M. Shahidehpour, H. Yamin, Zuyi Li, "Market Operations in Electric Power Systems: Forecasting, Scheduling, and Risk Management", John Wiley & Sons, 2002.
- [۳] S. Boyd, L. Vandenberghe, "Convex Optimization", cambridge university press, 2009.
- [۴] Pal, B. and Chaudhuri, B. (2005). Robust control in power systems, Springer Science+Business Media, New York, USA.